

非ニュートン流体の粘度について

京大工業教員養成所 正員 大同淳之
神戸市立六甲工高専 正員○日下部重幸

1. はじめに、粘度は、非ニュートン流体の流動を支配する最も大きな要素である。しかしながら、従来提案されている種々の粘度式は、その殆んどが稀薄懸濁液を対象としたもので、粘土あるいはセメントのような粒子の高濃度の流れの粘度を表わすには十分であるとはいえない。ここでは、高濃度の場合を対象として、その粘度を Rate process の理論を用いて表現するために、式中の二三の特性値を決定し、その妥当性について考察した。特性値の解釈およびその決定にかなりの問題を含んでいるが今後どうにこの考え方によつて解析を進めていく足掛りとして、いままでに得られた結果について報告する。

2. 実験方法、実験に用いた粘度計は同心円筒回転粘度計で、測定値の検定をシリコンオイルで行つた結果、落球法で決定した粘度と、本装置で求めたものとは 5% の範囲で一致した。試料作製に用いた粘土は、 $d_{50} = 0.0034 \text{ mm}$, $\phi = 2.96$, $\beta = 2.703$ である。

3. 従来の粘度式における問題点

従来多くの粘度式が考案されているが、一例として、容積濃度と比表面積で整理した森、石竹の式を示すと、懸濁液の相対粘度 μ_s/μ_0 は

$$\frac{\mu_s}{\mu_0} = 1 + \frac{d}{2} Sr \cdot \frac{1}{1/x_0 - 1/x_{uc}} \quad \cdots \cdots (1)$$

ここに、 μ_s は懸濁液の見かけ粘度、 μ_0 は溶液の粘度、 Sr は粒子の比表面積、 x_0 は容積濃度、 x_{uc} は連続的かつ安定なせん断変形を与える限界の最高容積濃度、 d は粒子の平均粒径である。

(1) 式は球形粒子の場合、 $d/2 \cdot Sr = 3$, $x_{uc} = 0.52$ となり図 1 の破線で示される。ここで用いた粘土粒子に対しては、実験値より、 $d/2 \cdot Sr$, x_{uc} を求め図 1 に示したが、 $d/2 \cdot Sr$, x_{uc} の値は粘土が変るとき変化する。これは粒子間の引力の影響と考えられるが、この式の形ではこの影響を表現するのに適当ではない。また高濃度では外力とひずみ速度の比が一定ではなく、このようないくつかの領域の粘性には適用できない。ところが、(1) 式では濃度が x_{uc} 附近になると $\mu \rightarrow \infty$ となる必ずしも実際と一致せず、ここで定義される x_{uc} 以上でも実際には流動を生じている。

4. Rate process を用いた粘度式

アイリングの理論によつて、せん断力 f が働く場合、入力を障壁の間隔とすると、図 2 のごとく流動方向に対しては、ボテンシャル障壁が f/γ_2 だけ低くなり、逆方向には f/γ_2 だけ高くなる。

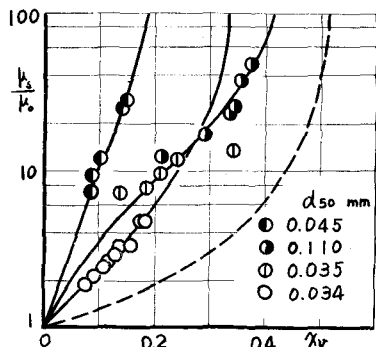


図 1 相対粘度と容積濃度の関係

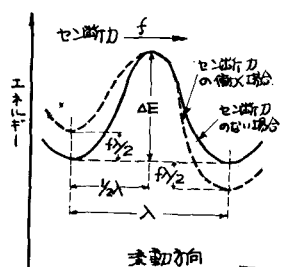


図 2 粘性流動のボテンシャル障壁

したがって、流動速度 ΔU は、

$$\Delta U = 2 \frac{\lambda K T}{R} \exp\left(\frac{-\Delta E}{K T}\right) \sinh\left(\frac{f \lambda}{2 K T}\right) \quad (2)$$

ここに、 K はボルツマン定数、 R はアランク定数、 T は絶対温度、 ΔE は障壁の高さである。ひずみ速度 $\dot{\epsilon}$ は、次式で表わされる。

$$\dot{\epsilon} = \frac{\Delta U}{\lambda} = 2 \frac{K T}{R} \exp\left(\frac{-\Delta E}{K T}\right) \sinh\left(\frac{f \lambda}{2 K T}\right) \quad (3)$$

一つの障壁に働くせん断力 f は、単位面積当たりのせん断応力を τ とすると、 $f = \tau \lambda^2$ であるから、粘度 μ は、

$$\mu = \frac{\tau}{\dot{\epsilon}} = \frac{\tau}{2 \frac{K T}{R} \exp\left(\frac{-\Delta E}{K T}\right) \sinh\left(\frac{f \lambda}{2 K T}\right)} \quad (4)$$

である。

後述するよう K 、 $f \lambda / 2 K T$ の値はかなり大きいので、

$$\sinh\left(\frac{f \lambda}{2 K T}\right) \approx \frac{1}{2} \exp\left(\frac{f \lambda}{2 K T}\right) \quad (5)$$

とおいて、(3)式に(5)式を代入し、両辺の対数をとると、 $\dot{\epsilon}$ を求めると、

$$\dot{\epsilon} = \frac{2 K T}{\lambda^3} \ln \dot{\epsilon} - \frac{2 K T}{\lambda^3} \ln \frac{K T}{R} + \frac{2 \Delta E}{\lambda^3} \quad (6)$$

となる。すなはち $\dot{\epsilon}$ と $\ln \dot{\epsilon}$ とが直線関係で示される。

5. 実験結果とその考察

粘度計による実験値を $-\ln \dot{\epsilon}$ で整理したのが図3である。グラフの勾配より $2 K T / \lambda^3$ を求め、絶対温度 T と $K = 1.38 \times 10^{-16} \text{ dyne} \cdot \text{cm} / \text{K}$ を与えて入を求めると、 $\lambda = 6 \sim 8 \times 10^{-4} \text{ cm}$ であった。これは粘土粒子が均一に分散したときの粒子間隔の約 1% にあたり、J. K. Mitchell²⁾ が三軸圧縮試験による粘土の变形解析において、入として用いた鈍素原子の直径の 10^4 倍に相当している。

得られた入を(6)式に代入し未知数 ΔE を求めると、

$\Delta E = 0.3 \sim 1 \times 10^{13} \text{ dyne} \cdot \text{cm}$ であった。これに得られた ΔE は、物理化学的な結合力、マグネット、ダイラタンシー効果などの他の値を含むと考えられるが、現在までにコンクリート、アスファルト、粘土等に対するこれらの値のオーダー $10^{13} \text{ dyne} \cdot \text{cm}$ とほぼ一致している。

(6)式に以上の入、 ΔE を与えて μ を求めたが必ずしも満足できる結果は得られなかつた。これは諸定数の求め方に問題があるものと考えられ、今後さらに検討を加えたい。

参考文献

1) 森芳郎、乙竹直

懸濁液の粘度について

化学工業, 20, No.9, (1956), p.488.

2) J. K. Mitchell

Shearing resistance of soils as a rate process. Proc. ASCE, Vol. 90, NOSM1, (1964), p.29

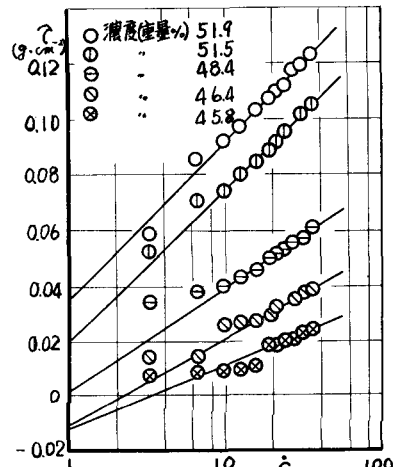


図3 セン断応力とせん断速度の関係